

УДК 539.199:541.64

ФРАГИЛЬНОСТЬ И МОДУЛИ УПРУГОСТИ ХАЛЬКОГЕНИДНЫХ СТЕКОЛ

© 2022 г. А. А. Машанов^{1,*}, М. В. Дармаев^{1, 2}

¹Бурятский государственный университет им. Доржи Банзарова,
ул. Смолина, 24а, Улан-Удэ, 670000 Россия

²Институт физического материаловедения СО Российской академии наук,
ул. Сахьяновой, 6, Улан-Удэ, 670047 Россия

*e-mail: Mashanov@bsu.ru

Поступила в редакцию 20.04.2022 г.

После доработки 01.07.2022 г.

Принята к публикации 06.07.2022 г.

Проведен расчет фрагильности двумя различными способами. Исследована корреляция между m и K/G , для системы As–S–Tl фрагильность линейно увеличивается, а для систем P–Se–Te, AsSe–TlSe и Sb–Ge–Se линейно уменьшается. Получена формула, связывающая фрагильность стекол с пологой температурой δT_g .

Ключевые слова: фрагильность, модули упругости, коэффициент Пуассона, халькогенидные стекла
DOI: 10.31857/S0002337X22110100

ВВЕДЕНИЕ

Есть достаточно большая серия работ, посвященная классификации различных стекол на основе данных о т.н. фрагильности (хрупкости) m , которая представляет собой наклон кривой $\lg \eta - (T_g/T)$ при $T = T_g$, где η – коэффициент сдвиговой вязкости, T_g – температура стеклования жидкости [1–3]. Интерес к этой проблеме возрос в 2003–2006 годы после нахождения связи с параметром Грюнайзена и упругими постоянными стекол [4].

Фрагильность характеризует скорость уменьшения вязкости при повышении температуры и определяется тангенсом угла наклона кривой вязкости $\lg \eta - (T_g/T)$ вблизи температуры стеклования T_g (рис. 1) [1, 5]

$$m = \left. \frac{\partial \lg \eta}{\partial (T_g/T)} \right|_{T=T_g}. \quad (1)$$

По значениям m можно классифицировать стекла. В первом приближении их делят на два больших класса: прочные и хрупкие. Это достаточно удобный способ классификации стекол, поскольку для них, как правило, известны экспериментальные данные о вязкости в области стеклования.

Настоящая работа посвящена определению фрагильности различными способами у халькогенидных стекол систем As–S–Tl, P–Se–Te,

AsSe–TlSe и Sb–Ge–Se, а также исследованию взаимосвязи между фрагильностью m , упругими модулями стекол и коэффициентом Пуассона для данных стекол.

Экспериментальные данные о вязкости, модулях упругости и коэффициенте Пуассона взяты из электронной базы [6]; указанные халькогенидные стекла выбраны в связи с тем, что для них имеются экспериментальные данные о вязкости в достаточно широком диапазоне.

Цель работы – исследование взаимосвязи между фрагильностью (хрупкостью) m и соотношением модулей упругости K/G для халькогенидных стекол.

МЕТОДИКА ОПРЕДЕЛЕНИЯ ФРАГИЛЬНОСТИ

Для определения фрагильности строится график зависимости $\lg \eta$ от T_g/T (рис. 1) [7]. Следовательно, нужно иметь экспериментальные данные о вязкости $\eta(T)$ в области стеклования вплоть до $T = T_g$. Обычно за значение T_g принимают температуру T_{13} , соответствующую вязкости $\eta(T_g) = 10^{13}$ Пз, $\lg \eta(T_g) = 13$.

В точке кривой $\lg \eta - (T_g/T)$, соответствующей абсциссе $x_2 = (T_g/T) = 1$, проводим касательную AB . Затем строим произвольный треугольник

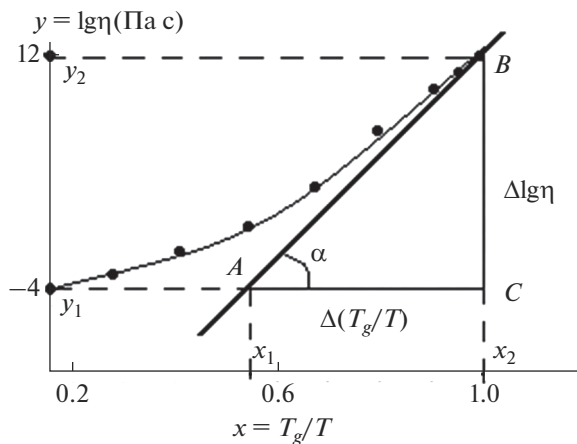
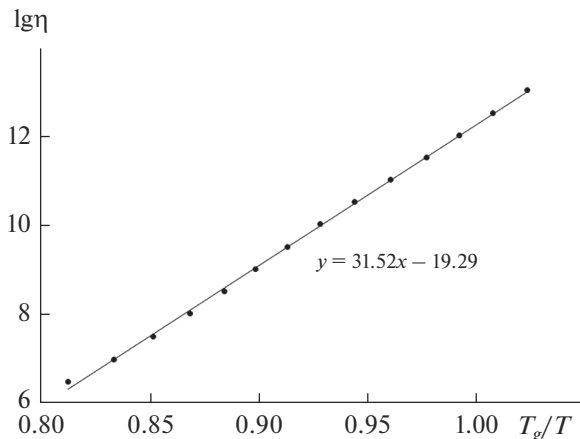


Рис. 1. Схема определения фрагильности стекол.

Рис. 2. Определение фрагильности m для стекла Sb–Ge–Se с применением метода наименьших квадратов: Sb – 5, Ge – 15, Se – 80 мол. %.

ABC . Чем больше размер треугольника, тем точнее получится результат.

Отношение BC/AC равно фрагильности m – тангенсу угла наклона кривой $\lg\eta$ – (T_g/T) в точке $T_g/T = 1$ (рис. 1).

Отметим, что с использованием метода наименьших квадратов получается более точный результат и процесс определения фрагильности менее трудоемкий (рис. 2).

ФРАГИЛЬНОСТЬ И МОДУЛИ УПРУГОСТИ СТЕКОЛ

Одним из интересных результатов, полученных по фрагильности стекол, является установление связи m с модулями упругости.

Новиков и Соколов [4] установили, что в первом приближении между фрагильностью m и отношением модуля объемного сжатия K к модулю сдвига G наблюдается линейная корреляция

$$m \approx 29 \left(\frac{K}{G} - 0.41 \right). \quad (2)$$

Из теории упругости известно, что отношение K/G является функцией коэффициента Пуассона μ

$$\frac{K}{G} = \frac{2}{3} \left(\frac{1+\mu}{1-2\mu} \right). \quad (3)$$

Из соотношений (2) и (3) следует, что фрагильность является функцией коэффициента Пуассона.

В работе [4] отмечена важная роль коэффициента Пуассона в динамике сетки стекол. Фрагильность является характеристикой температурной зависимости вязкости стекла вблизи температуры стеклования. В свою очередь вязкость тесно связана со временем релаксации структуры стекла. Отсюда следует, что структурная релаксация зависит от упругих свойств, в частности, от коэффициента Пуассона.

Известно, что чем сильнее выражен ангармонизм колебаний решетки, тем легче протекает процесс релаксации структуры стекла. Отсюда понятно, почему фрагильность связана с ангармонизмом [3, 4].

На рис. 3 и 4 построены зависимости фрагильности m от отношения модулей упругости K/G . Для системы As–S–Tl наблюдается положительный наклон прямой, связанный с увеличением коэффициента Пуассона, для систем P–Se–Te, AsSe–TlSe и Sb–Ge–Se наблюдается отрицательный наклон прямых, объясняемый, в большей степени, уменьшением коэффициента Пуассона.

Полученные нами прямые $m-K/G$ для стекол описываются следующими эмпирическими уравнениями:

$$\begin{aligned} \text{As–S–Tl: } & m = 9.9 K/G + 0.10, \\ \text{P–Se–Te: } & m = -20.6 K/G + 89.3, \\ \text{AsSe–TlSe: } & m = -18.4 K/G + 82.4, \\ \text{Sb–Ge–Se: } & m = -14 K/G + 63.8. \end{aligned}$$

Следует отметить, что формула (2) практически не выполняется для исследованных халькогенидных составов. В некоторых случаях зависимость m от отношения K/G оказывается достаточно сложной и не всегда описывается линейной корреляцией.

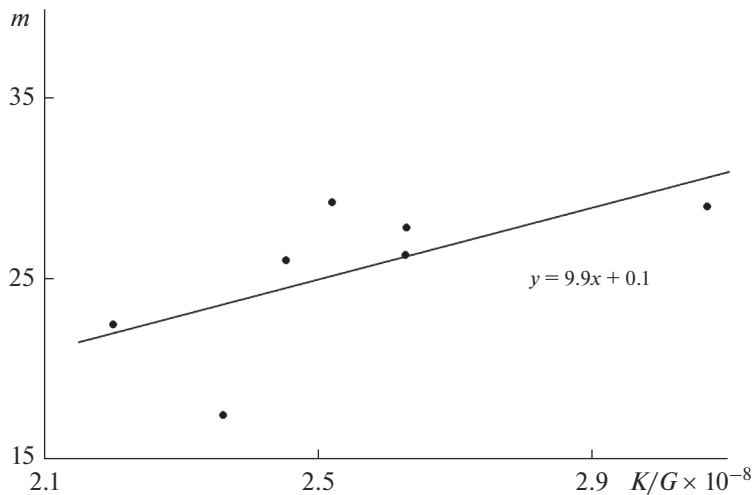


Рис. 3. Зависимость фрагильности m от отношения модулей упругости (K/G) для стекол As—S—Tl (использованы данные справочника [6]).

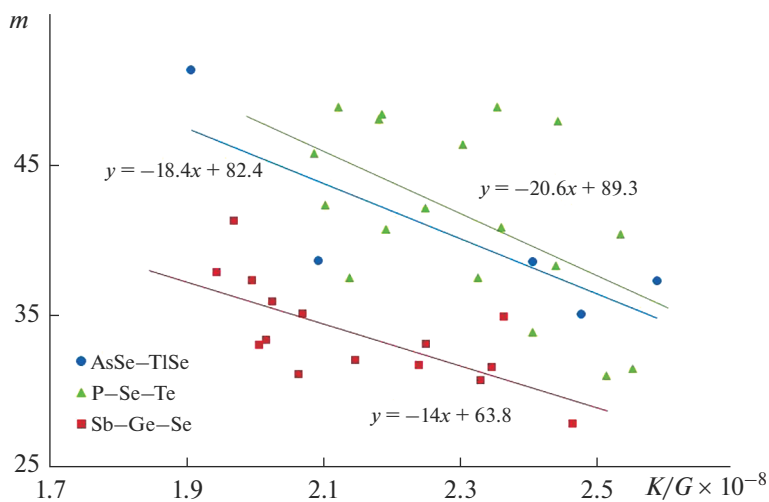


Рис. 4. Зависимости фрагильности m от отношения модулей упругости (K/G) для стекол P—Se—Te, Sb—Ge—Se, AsSe—TlSe (использованы данные справочника [6]).

ФРАГИЛЬНОСТЬ И КОЭФФИЦИЕНТ ПУАССОНА

Фрагильность имеет следующую взаимосвязь с долей флюктуационного объема, замороженной при температуре стеклования $f_g = (V_f/V)T_g$ [7]

$$m = \frac{\lg(1/f_g)}{f_g}. \quad (4)$$

Флюктуационный объем жидкостей и аморфных сред V_f обусловлен предельными смещениями возбужденных кинетических единиц из равновесных положений [8]

$$V_f = (\pi r^2 \Delta r_{\max}) N_e, \quad (5)$$

где N_e — число возбужденных кинетических единиц, πr^2 — площадь сечения частицы. Критическое смещение кинетической единицы Δr_{\max} , соответствующее максимуму силы межатомного притяжения (предельной деформации межатомной связи Δr_{\max}), оказывается функцией параметра Грюнайзена γ_L [9, 10]

$$\frac{\Delta r_{\max}}{r_0} = \frac{1}{6\gamma_L}, \quad (6)$$

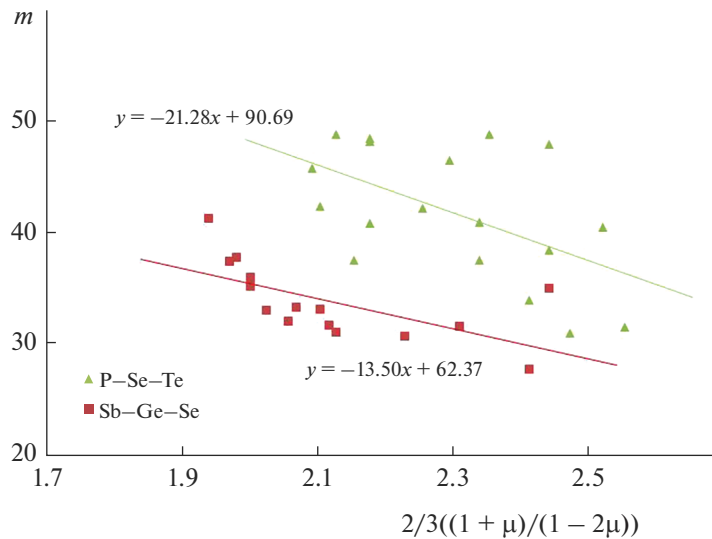


Рис. 5. Зависимости фрагильности m от функции коэффициента Пуассона для стекол P–Se–Te, Sb–Ge–Se (использованы данные справочника [6]).

что обусловлено проявлением нелинейности силы межатомного (межмолекулярного) притяжения при значительном смещении возбужденной частицы из равновесного положения. Из соотношений (5) и (6) видно, что флуктуационный объем V_f и, следовательно, его доля f_g зависят от ангармонизма колебаний межатомных связей [11].

В свою очередь параметр Грюнайзена стеклообразных твердых тел оказывается функцией коэффициента Пуассона [10, 12, 13]

$$\gamma_L \approx \frac{2}{3} \left(\frac{1+\mu}{1-2\mu} \right). \quad (7)$$

Из соотношений (4)–(7) следует, что в первом приближении фрагильность должна быть пропорциональна параметру Грюнайзена и определяться функцией коэффициента Пуассона $\gamma_L(\mu)$

$$m \approx \frac{2}{3} \left(\frac{1+\mu}{1-2\mu} \right). \quad (8)$$

Исследованные в настоящей работе халькогенидные составы приближенно подчиняются корреляции (8) (рис. 5).

Интересно отметить, что нет физических оснований для существования универсальных корреляций между фрагильностью и коэффициентом Пуассона. Такие корреляции могут наблюдаться лишь для определенных групп стекол с взаимосвязанными структурами [5].

ФРАГИЛЬНОСТЬ И ТЕМПЕРАТУРНАЯ ПОЛОСА δT_g

Взаимосвязь скорости охлаждения q и времени структурной релаксации τ_g выражается общим соотношением – уравнением стеклования

$$q\tau_g = \delta T_g, \quad (9)$$

которое определяет появление стеклообразного состояния при температуре T_g в процессе охлаждения.

Величина δT_g принимается равной интервалу температур, в котором вязкость $\eta(T)$ меняется на порядок – от 10^{13} до 10^{12} Па с [14],

$$\delta T_g = T_{12} - T_{13}, \quad (10)$$

где T_{12} и T_{13} – температуры, соответствующие $\lg \eta = 12$ и $\lg \eta = 13$.

Легко убедиться, что подстановка в (1) уравнения Вильямса–Ландела–Ферри для зависимости $\eta(T)$ позволяет прийти к соотношению

$$m = \frac{C_1 T_g}{C_2}. \quad (11)$$

С учетом $\delta T_g = C_2/C_1$ для стекол одного класса вытекает следующее соотношение для определения фрагильности

$$m = \frac{T_g}{\delta T_g}. \quad (12)$$

Расчет m по этой формуле находится в удовлетворительном согласии с непосредственным определением фрагильности по формуле (1) (см. табл. 1).

Таблица 1. Расчет фрагильности стекол As—S—Tl, P—Se—Te, Sb—Ge—Se, AsSe—TlSe

| Состав, мол. % | | | t_g , °C | μ | m | m по формуле (12) |
|----------------|-------|-------|------------|-------|-------|---------------------|
| As | S | Tl | | | | |
| 40.00 | 60.00 | — | 172 | 0.306 | 17.43 | 15.34 |
| 36.90 | 57.93 | 5.17 | 134 | 0.309 | 22.45 | 18.50 |
| 33.90 | 55.93 | 10.17 | 128 | 0.311 | 29.21 | 22.91 |
| 32.26 | 54.84 | 12.90 | 120 | 0.317 | 26.00 | 21.24 |
| 31.06 | 54.04 | 14.91 | 115 | 0.324 | 27.81 | 20.97 |
| 28.17 | 52.11 | 19.72 | 107 | 0.337 | 26.34 | 22.35 |
| 25.00 | 50.00 | 25.00 | 94 | 0.344 | 28.95 | 22.94 |
| P | Se | Te | | | | |
| 10.00 | 90.00 | — | 55 | 0.320 | 47.89 | 46.86 |
| 9.00 | 81.01 | 9.99 | 75 | 0.313 | 40.83 | 53.54 |
| 8.00 | 72.00 | 20.00 | 75 | 0.310 | 46.35 | 46.40 |
| 7.00 | 63.03 | 29.97 | 72 | 0.301 | 48.03 | 49.29 |
| 6.00 | 53.99 | 40.01 | 72 | 0.297 | 48.78 | 46.00 |
| 20.00 | 80.00 | — | 65 | 0.314 | 48.78 | 39.76 |
| 18.02 | 72.07 | 9.91 | 77 | 0.320 | 38.29 | 35.00 |
| 16.00 | 64.00 | 20.00 | 93 | 0.307 | 42.08 | 52.29 |
| 14.01 | 56.02 | 29.97 | 95 | 0.295 | 42.34 | 56.62 |
| 12.00 | 48.02 | 39.98 | 90 | 0.294 | 45.74 | 38.21 |
| 28.57 | 71.43 | — | 78 | 0.318 | 33.86 | 41.29 |
| 25.64 | 64.10 | 10.26 | 84 | 0.313 | 37.49 | 34.00 |
| 22.88 | 57.21 | 19.91 | 92 | 0.299 | 37.49 | 45.63 |
| 20.00 | 50.00 | 30.00 | 93 | 0.301 | 40.72 | 52.29 |
| 17.15 | 42.88 | 39.97 | 76 | 0.301 | 48.39 | 43.63 |
| 40.00 | 60.00 | — | 87 | 0.322 | 30.93 | 34.29 |
| 35.97 | 53.96 | 10.07 | 88 | 0.327 | 31.44 | 27.77 |
| 31.95 | 47.92 | 20.13 | 80 | 0.325 | 40.33 | 35.30 |
| Sb | Ge | Se | | | | |
| 10 | 5 | 85 | 78 | 0.320 | 34.88 | 18.64 |
| 10 | 10 | 80 | 118 | 0.311 | 31.52 | 36.83 |
| 5 | 15 | 80 | 135 | 0.318 | 27.71 | 33.71 |
| 15 | 10 | 75 | 130 | 0.296 | 31.65 | 38.25 |
| 10 | 15 | 75 | 149 | 0.305 | 30.63 | 34.64 |
| 20 | 10 | 70 | 151 | 0.295 | 33.07 | 43.18 |
| 15 | 15 | 70 | 172 | 0.297 | 30.99 | 35.93 |
| 20 | 15 | 65 | 216 | 0.292 | 33.30 | 41.38 |
| 10 | 25 | 65 | 305 | 0.291 | 31.96 | 35.56 |
| 16 | 20 | 64 | 275 | 0.286 | 35.07 | 42.57 |
| 22 | 15 | 63 | 247 | 0.280 | 41.21 | 62.78 |
| 25 | 15 | 60 | 228 | 0.284 | 37.76 | 42.00 |
| 20 | 20 | 60 | 244 | 0.286 | 35.90 | 40.43 |
| 15 | 25 | 60 | 250 | 0.283 | 37.31 | 39.27 |
| 10 | 30 | 60 | 284 | 0.288 | 33.00 | 38.31 |
| AsSe | TlSe | — | | | | |
| 100.00 | — | | 162 | 0.310 | 35.11 | 39.55 |
| 90.00 | 10.00 | | 136 | 0.300 | 38.58 | 45.44 |
| 80.00 | 20.00 | | 134 | 0.320 | 38.54 | 50.88 |
| 66.60 | 33.40 | | 121 | 0.320 | 37.29 | 39.40 |
| 40.00 | 60.00 | | 69 | 0.310 | 51.28 | 57.00 |

ЗАКЛЮЧЕНИЕ

Анализ полученной взаимосвязи между m и K/G показывает, что фрагильность у исследуемых стекол системы As—S—Tl линейно растет, а у систем P—Se—Te, AsSe—TlSe и Sb—Ge—Se линейно уменьшается. В первом приближении фрагильность должна быть пропорциональна функции коэффициента Пуассона $\gamma_L(\mu) \approx 2(1 + \mu)/3(1 - 2\mu)$. Из исследованных халькогенидных стекол этой закономерности подчиняются стекла систем P—Se—Te и Sb—Ge—Se. Полученные результаты согласуются с представлением Немилова [5] о том, что корреляции между m и μ могут наблюдаться лишь для определенных групп стекол.

БЛАГОДАРНОСТЬ

Работа выполнена при финансовой поддержке ФГБОУ ВО “Бурятский государственный университет имени Доржи Банзарова”, грант № 22-06-0502.

СПИСОК ЛИТЕРАТУРЫ

1. *Angell C.A.* Perspective on the Glass Transition // *J. Phys. Chem. Solids.* 1988. V. 49. № 8. P. 836–871.
2. *Novikov V.N.* Vibration Anharmonicity and Fast Relaxation in the Region of Glass Transition // *Phys. Rev. B.* 1998. V. 58. P. 8367–8378.
3. *Sokolov A.P., Rossler E., Kisliuk A., Quitman D.* Dynamics of Strong and Fragile Glassformers: Differences // *Phys. Rev. Lett.* 1993. V. 71. P. 2062–2065.
4. *Novikov V.N., Sokolov A.P.* Poisson’s Ratio and the Fragility of Glass-Forming Liquids // *Nature.* 2004. V. 431. P. 961–963.
5. *Nemilov S.V.* Structural Aspect of Possible Interrelation between Fragility (Length) of Glass Forming Melts and Poisson’s Ratio of Glasses // *J. Non-Cryst. Solids.* 2007. V. 353. P. 4613–4632.
6. MDL® SciGlass – 7.8 Institute of Theoretical Chemistry, Shrewsbury, MA, 2012.
7. Сандитов Д.С., Машанов А.А., Сандитов Б.Д., Мантатов В.В. Фрагильность и ангармонизм колебаний решетки свинцовосиликатных и натриевоборатных стекол // Физика и химия стекла. 2008. Т. 34. № 4. С. 512–517.
8. Сыдыков Б.С., Сандитов Д.С. Критерий плавления Линдемана и переход стекло-жидкость // Вестн. Бурятского гос. ун-та. Химия. Физика. 2014. Вып. 3. С. 126–130.
9. Мантатов В.В. Модельная концепция в исследовании физических свойств неупорядоченных структур // Вестн. Бурятского гос. ун-та. Химия. Физика. 2022. Вып. 1. С. 3–17.
10. Сандитов Б.Д., Мантатов В.В. Нелинейность силы межмолекулярного взаимодействия в некристаллических твердых телах. Улан-Удэ: Изд-во Бурятского гос. ун-та, 2001. 96 с.
11. Аграфонов Ю.В., Сандитов Д.С., Цыдылов Ш.Б. Физика классических неупорядоченных систем. Улан-Удэ: Изд-во Бурятского гос. ун-та, 2000. 234 с.
12. Сандитов Д.С. Коэффициент поперечной деформации и структурно-чувствительные свойства стеклообразных материалов // Деформация и разрушение материалов. 2015. № 9. С. 2–16.
13. Сандитов Д.С., Дармаев М.В. Упругие модули и параметр Грюнайзена стеклообразных твердых тел // Физика и химия стекла. 2022. Т. 48. № 1. С. 27–33.
14. Nemilov S.V. Maxwell Equation and Classical Theories of Glass Transition as a Basis for Direct Calculation of Viscosity at Glass Transition Temperature // *Glass Phys. Chem.* 2013. V. 39. № 6. P. 609–623.